

図 47(a) (-50.20.20) における波形 X 軸

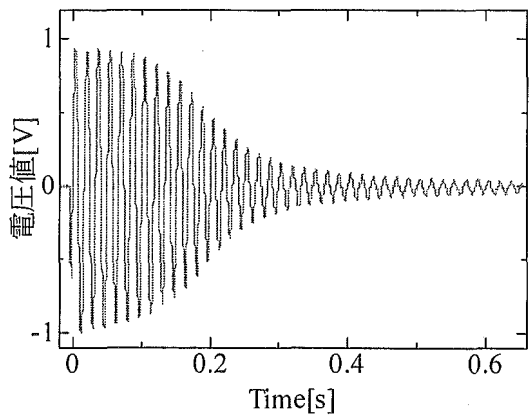


図 48(a) (-20.20.20) における波形 X 軸

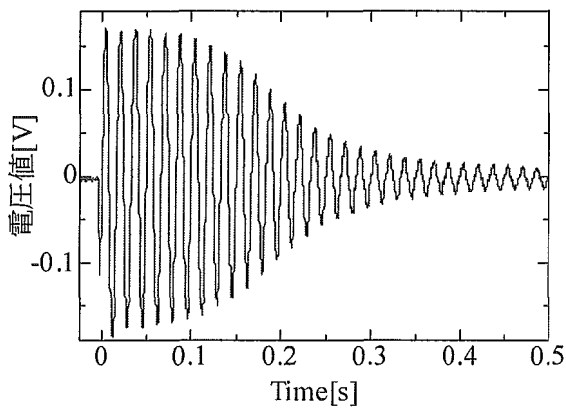


図 47(b) (-50.20.20) における波形 Y 軸

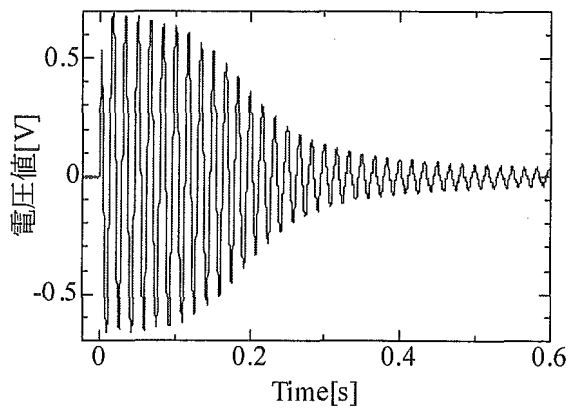


図 48(b) (-20.20.20) における波形 Y 軸

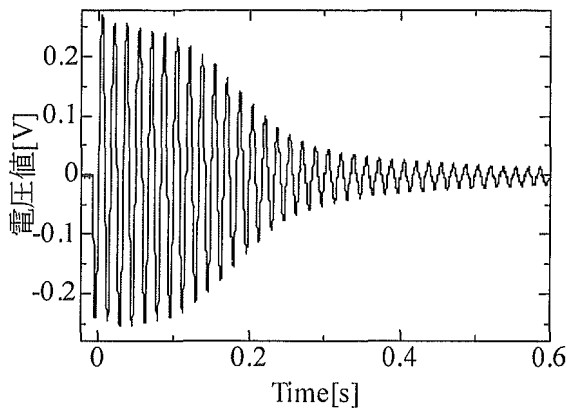


図 47(c) (-50.20.20) における波形 Z 軸

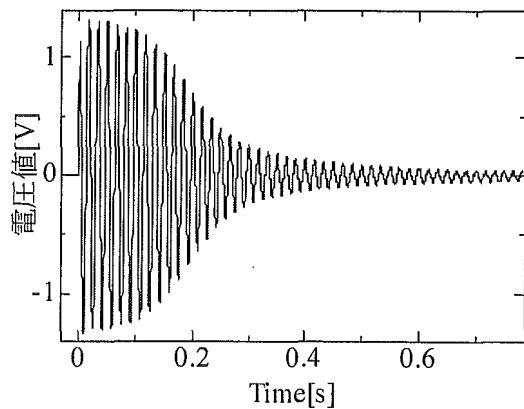


図 48(c) (-20.20.20) における波形 Z 軸

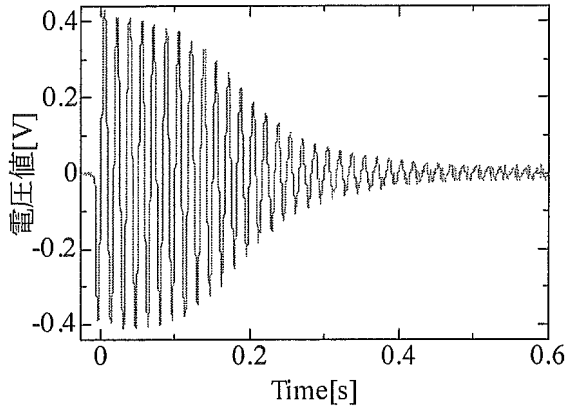


図 49(a) (0.20.20) における波形 X 軸

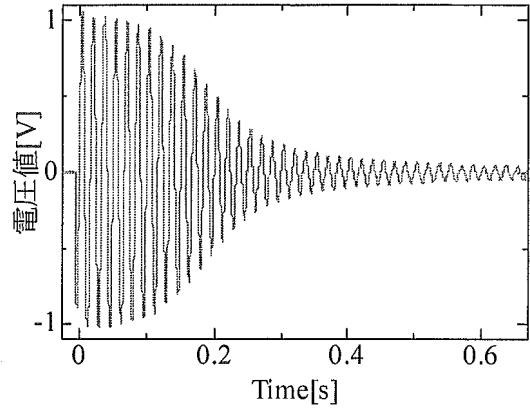


図 50(a) (20.20.20) における波形 X 軸

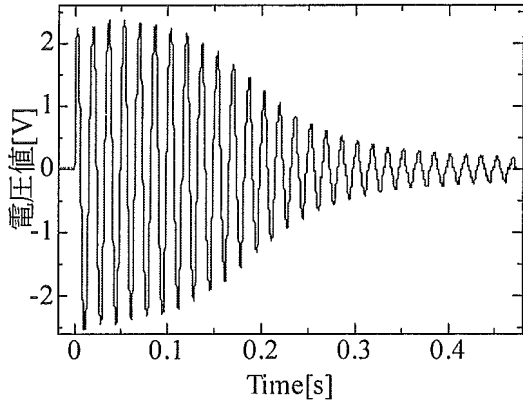


図 49(b) (0.20.20) における波形 Y 軸

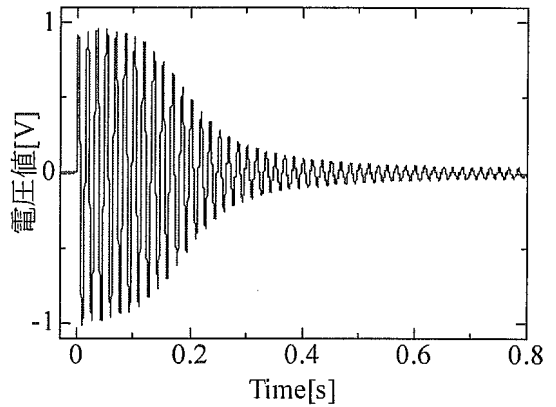


図 50(b) (20.20.20) における波形 Y 軸

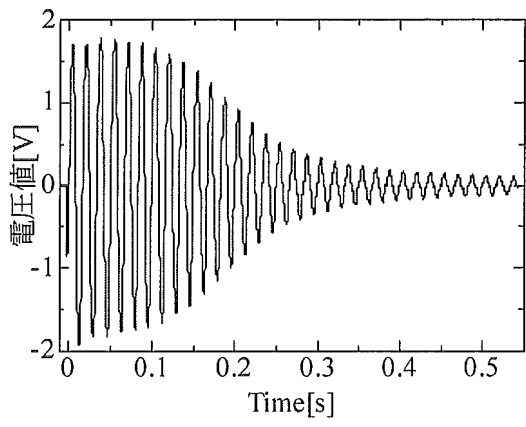


図 49(c) (0.20.20) における波形 Z 軸

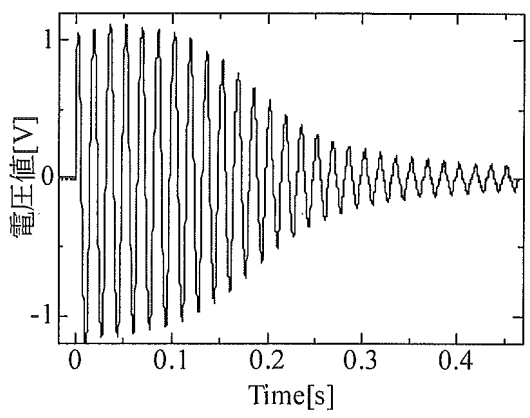


図 50(c) (20.20.20) における波形 Z 軸

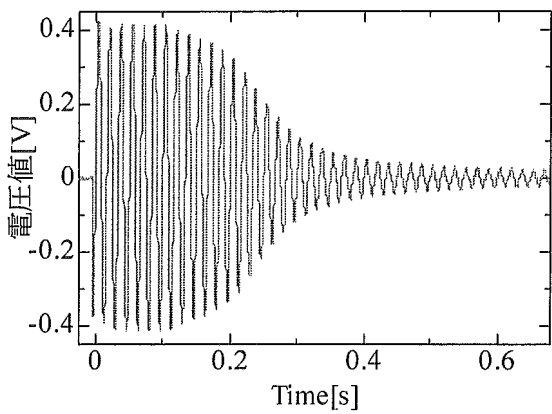


図 51(a) (50.20.20) における波形 X 軸

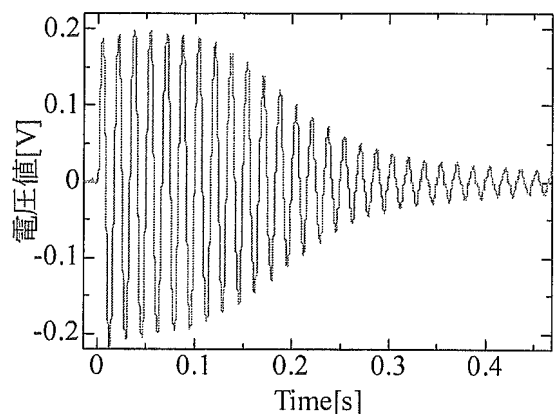


図 52(a) (-50.50.20) における波形 X 軸

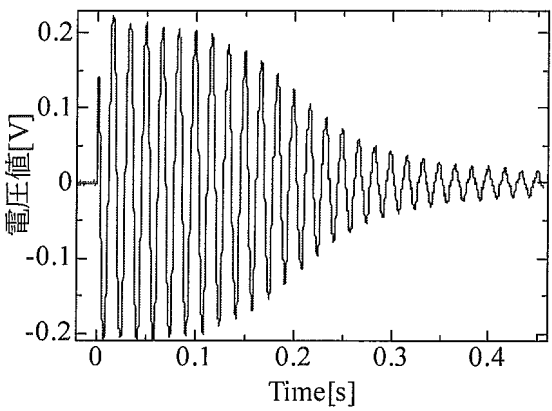


図 51(b) (50.20.20) における波形 Y 軸

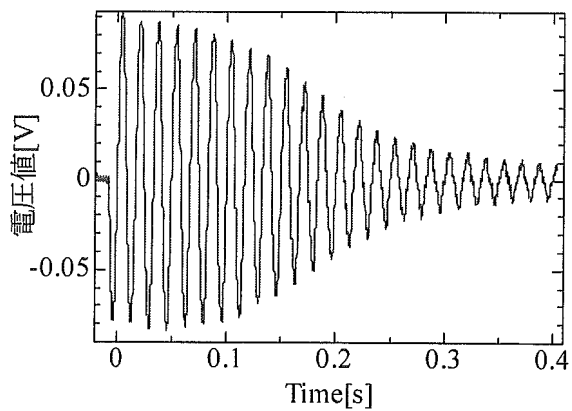


図 52(b) (-50.50.20) における波形 Y 軸

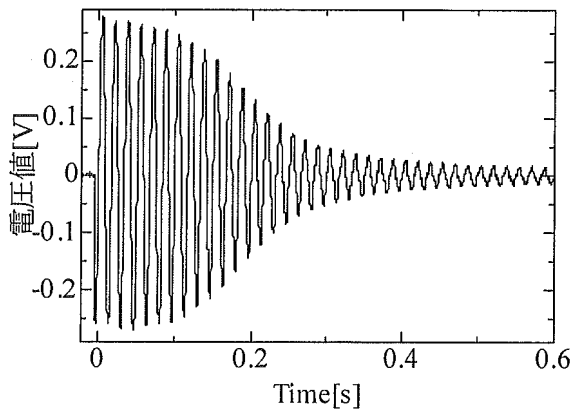


図 51(c) (50.20.20) における波形 Z 軸

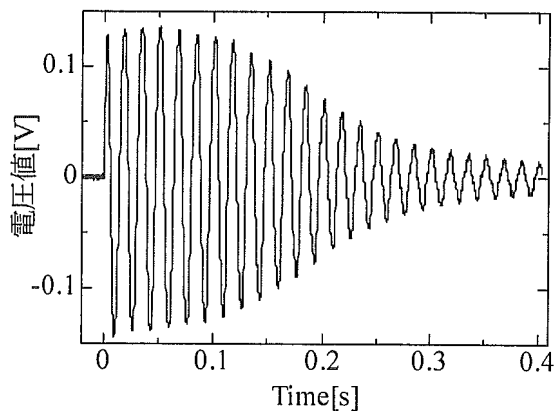


図 52(c) (-50.50.20) における波形 Z 軸

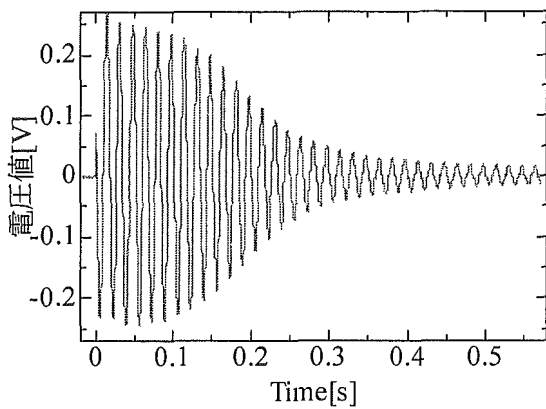


図 53(a) (-20.50.20) における波形 X 軸

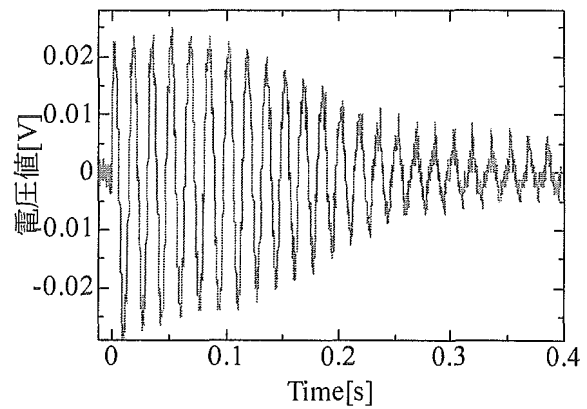


図 54(a) (0.50.20) における波形 X 軸

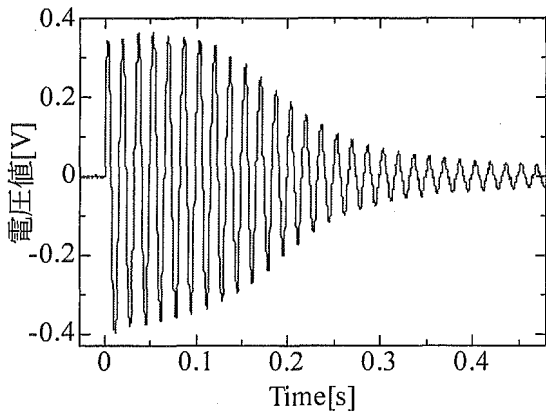


図 53(b) (-20.50.20) における波形 Y 軸

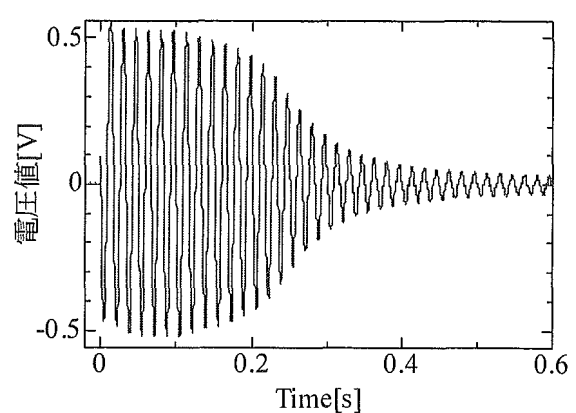


図 54(b) (0.50.20) における波形 Y 軸

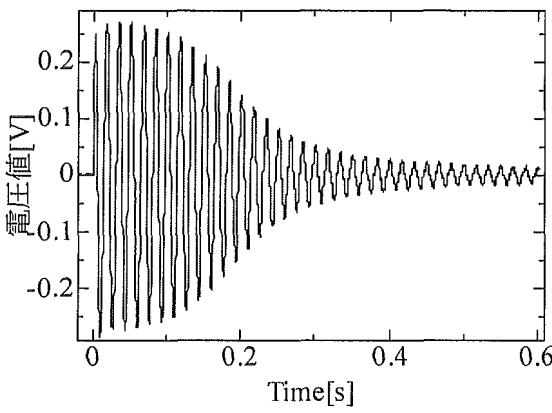


図 53(c) (-20.50.20) における波形 Z 軸

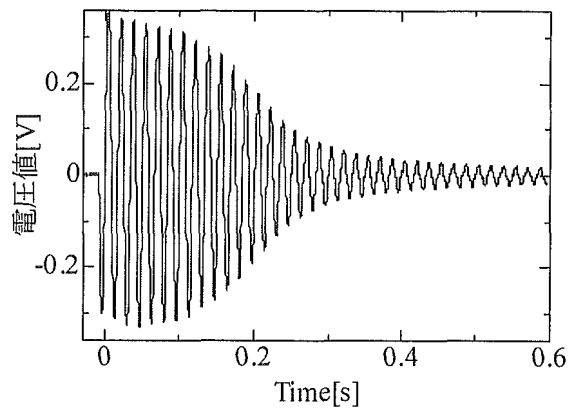


図 54(c) (0.50.20) における波形 Z 軸

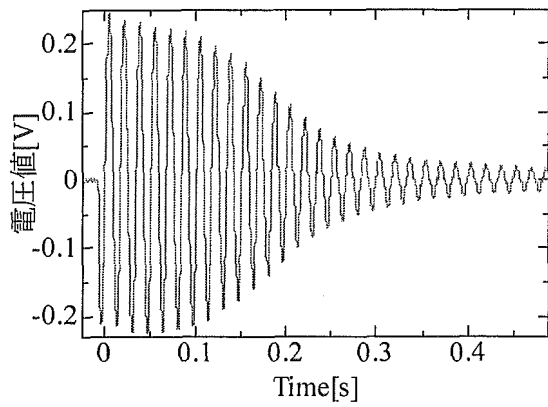


図 55(a) (20.50.20) における波形 X 軸

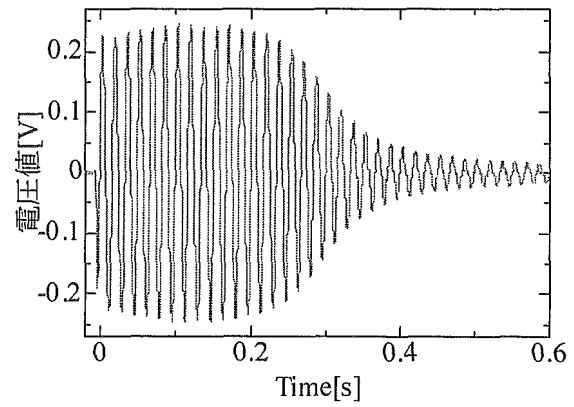


図 56(a) (50.50.20) における波形 X 軸

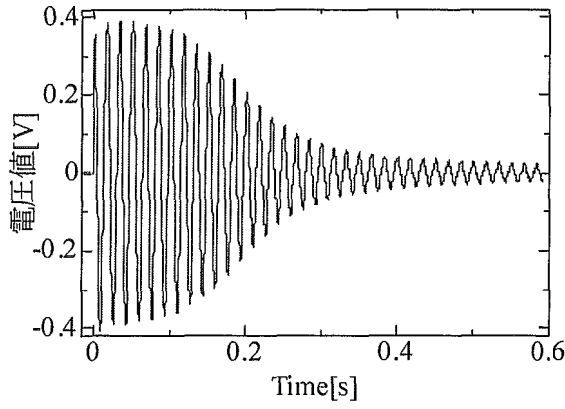


図 55(b) (20.50.20) における波形 Y 軸

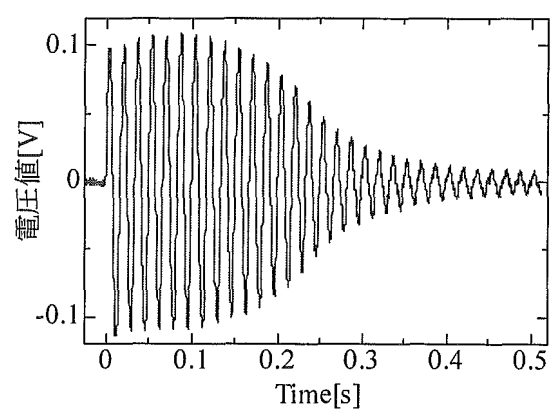


図 56(b) (50.50.20) における波形 Y 軸

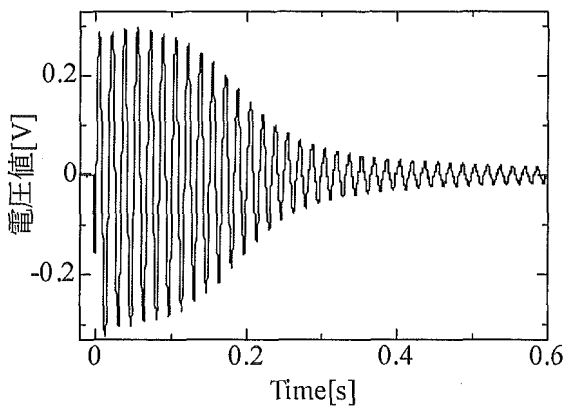


図 55(c) (20.50.20)における波形 Z 軸

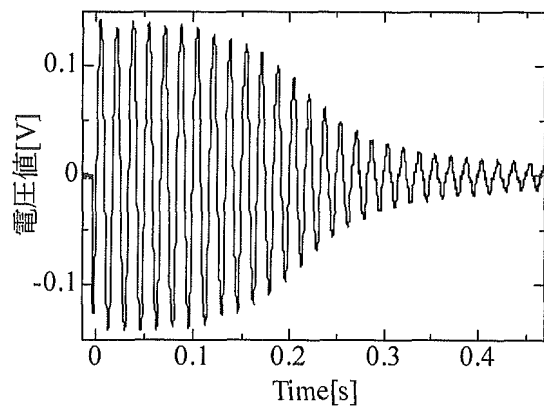


図 56(c) (50.50.20)における波形 Z 軸

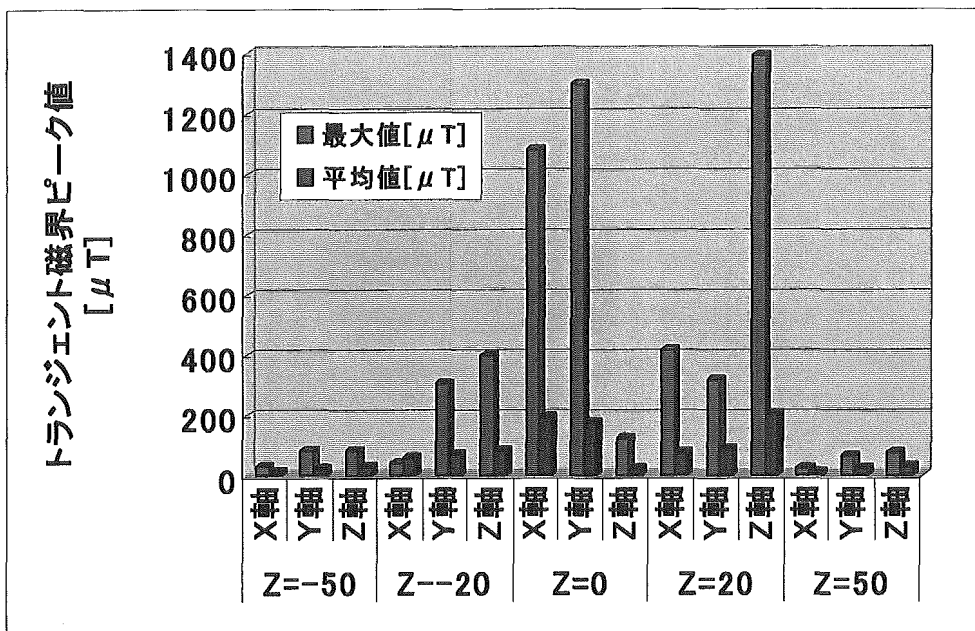


図 57 トランジェント磁界のピーク値の最大値と平均値の比較

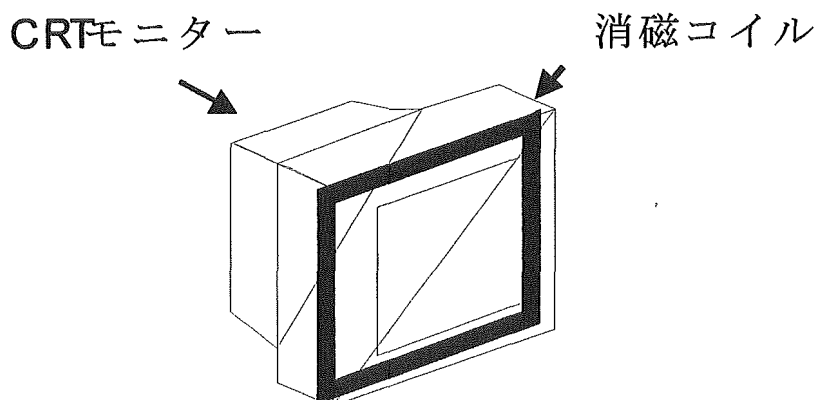


図 58 CRT モニター内の消磁用コイル

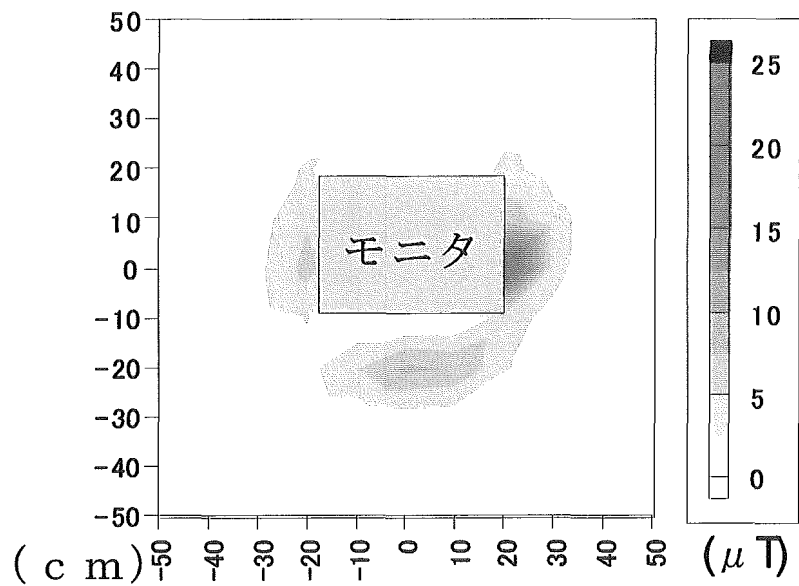


図 59 定常磁界強度分布 (Z=0 の面)

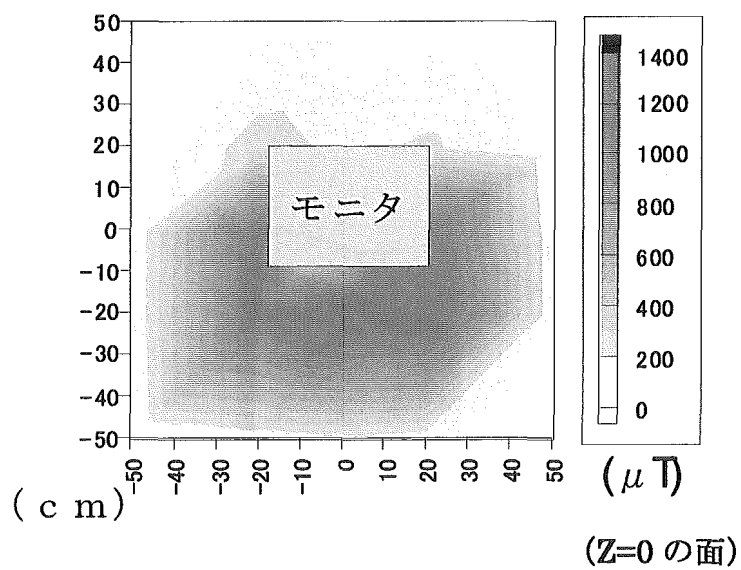


図 60 トランジエント磁界ピーク値の分布図

図 59,60 定常磁界分布とトランジエント磁界
ピーク値の分布の比較 (Z=0において)

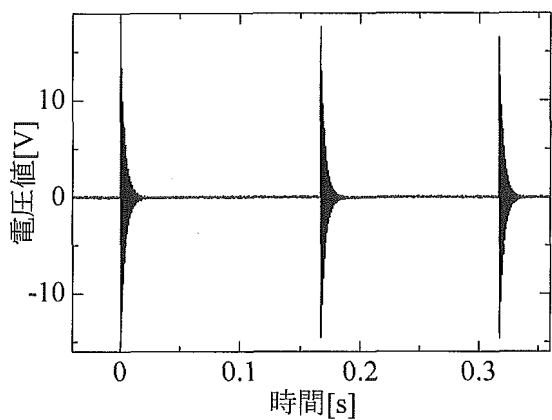


図 61(a) 頭部左側付近におけるトランジエント
磁界波形(X軸)

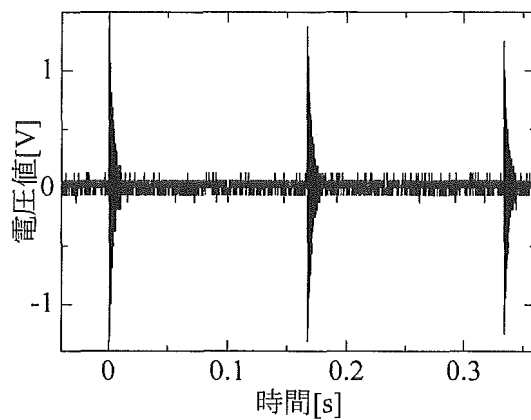


図 62(a) 頭部中央付近におけるトランジエント
磁界波形(X軸)

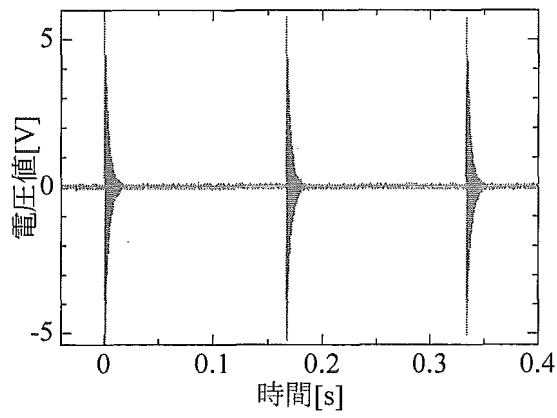


図 61(b) 頭部左側付近におけるトランジエント
磁界波形(Y軸)

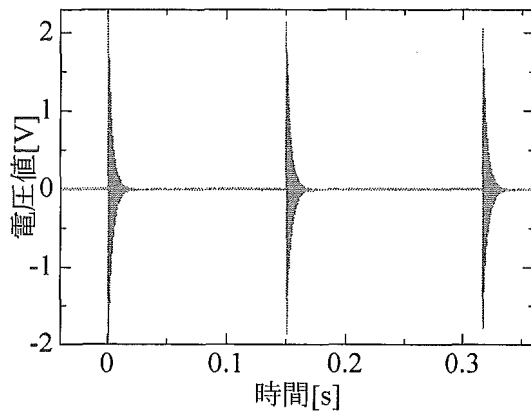


図 62(b) 頭部中央付近におけるトランジエント
磁界波形(Y軸)

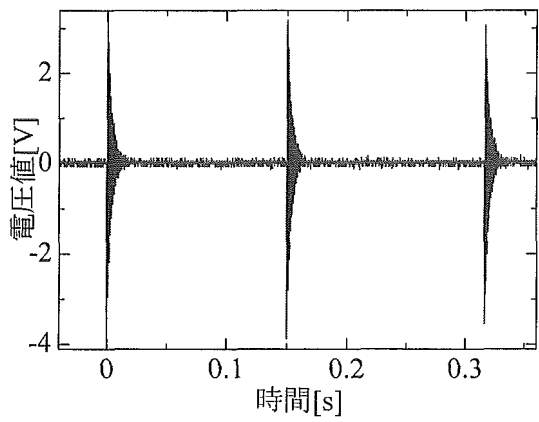


図 61(c) 頭部左側付近におけるトランジエント
磁界波形(Z軸)

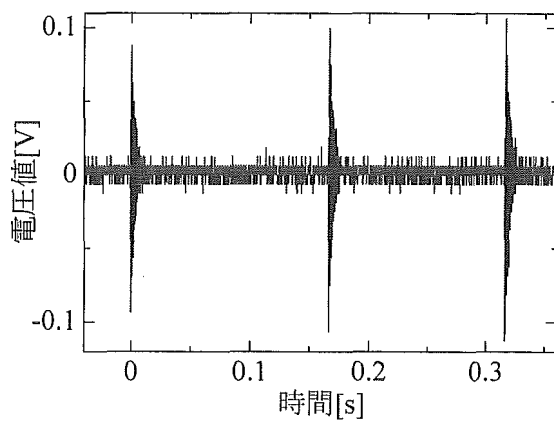


図 62(c) 頭部中央付近におけるトランジエント
磁界波形(Z軸)

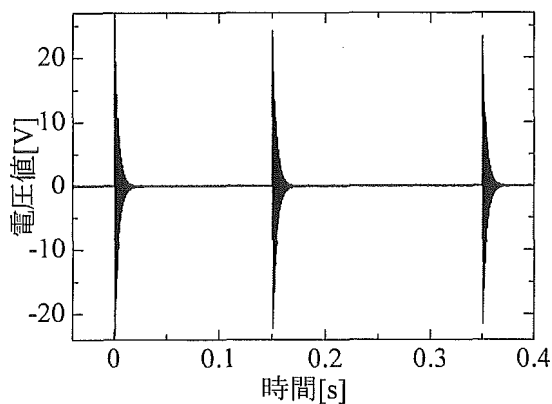


図 63(a) 頭部右側付近におけるトランジエント
磁界波形(X軸)

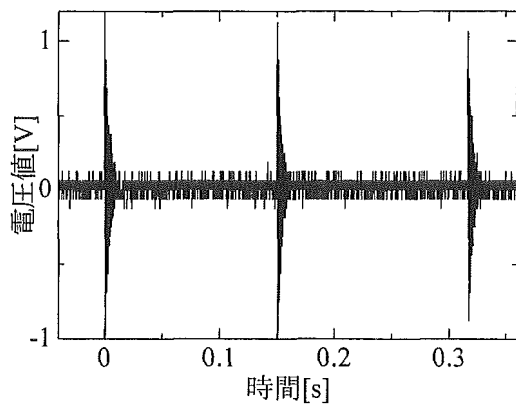


図 64(a) 腹部左側付近におけるトランジエント
磁界波形(X軸)

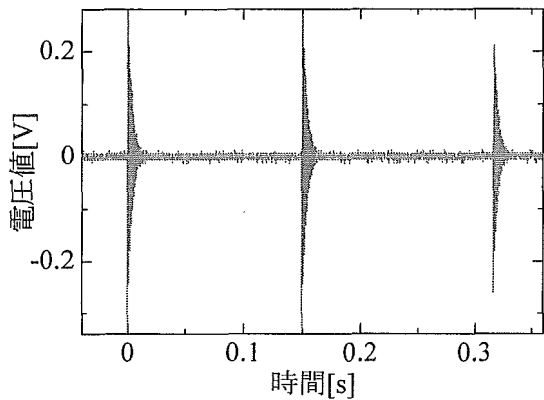


図 63(b) 頭部右側付近におけるトランジエント
磁界波形(Y軸)

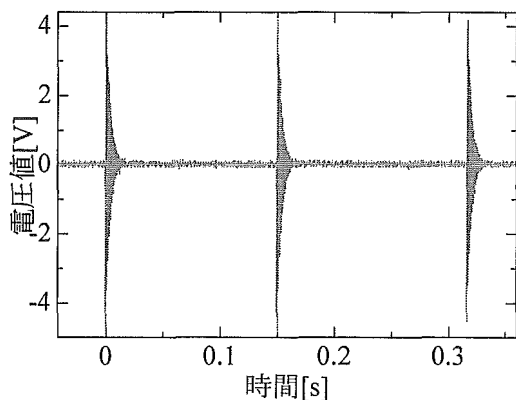


図 64(b) 腹部左側付近におけるトランジエント
磁界波形(Y軸)

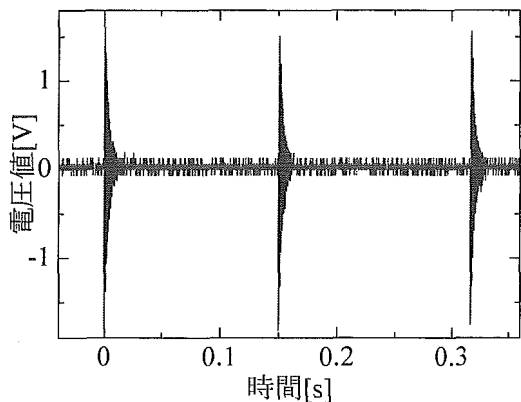


図 63(c) 頭部右側付近におけるトランジエント
磁界波形(Z軸)

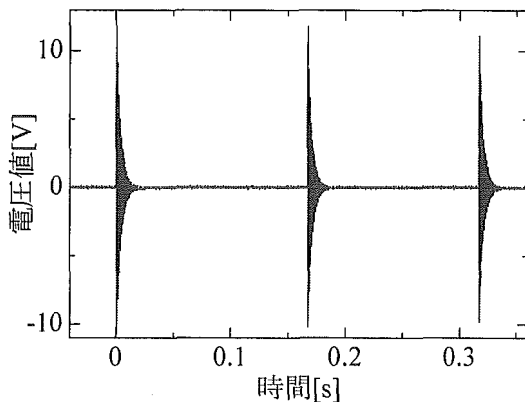


図 64(c) 腹部左側付近におけるトランジエント
磁界波形(Z軸)

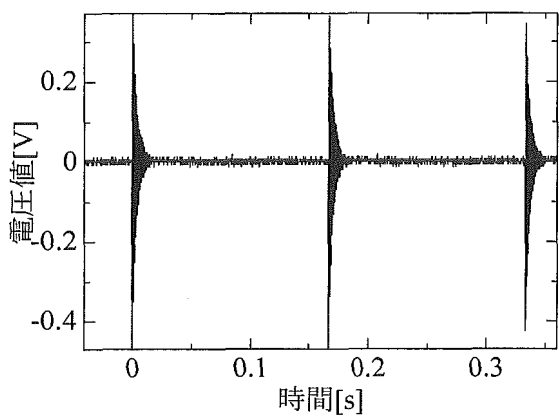


図 65(a) 腹部中央付近におけるトランジェント
磁界波形(X軸)

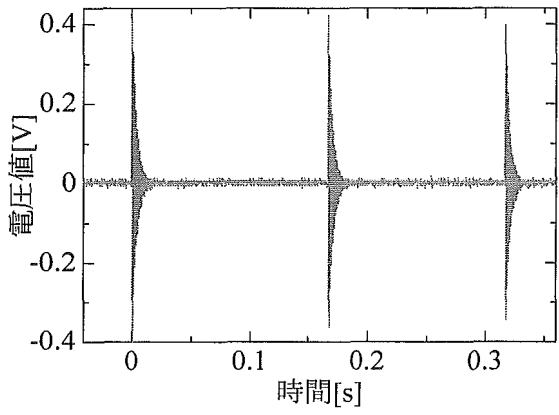


図 65(b) 腹部中央付近におけるトランジェント
磁界波形(Y軸)

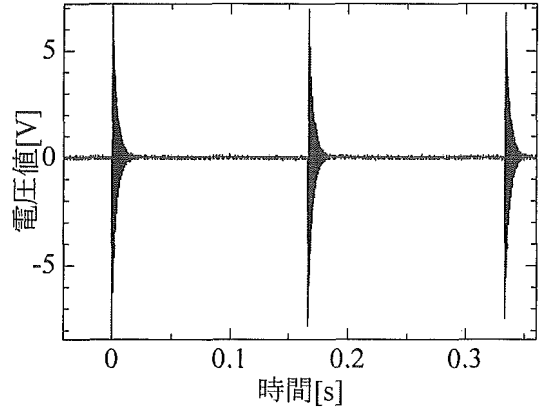


図 65(c) 腹部中央付近におけるトランジェント
磁界波形(Z軸)

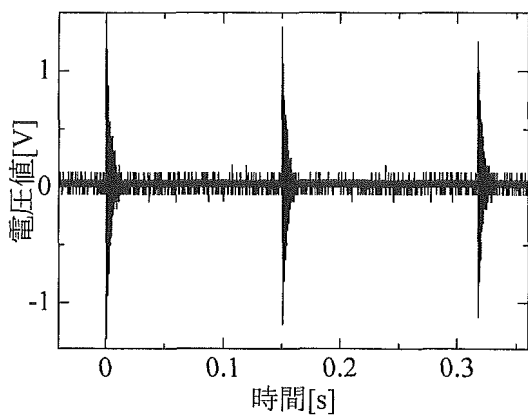


図 66(a) 腹部右側付近におけるトランジェント
磁界波形(X軸)

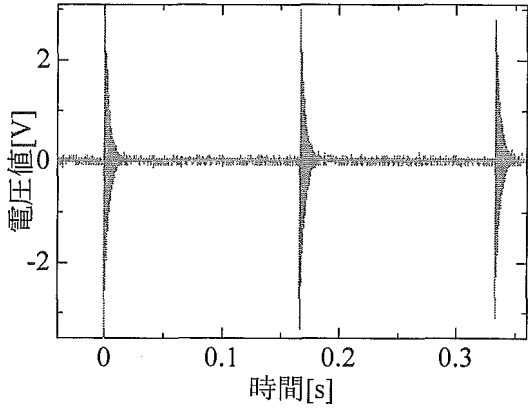


図 66(b) 腹部右側付近におけるトランジェント
磁界波形(Y軸)

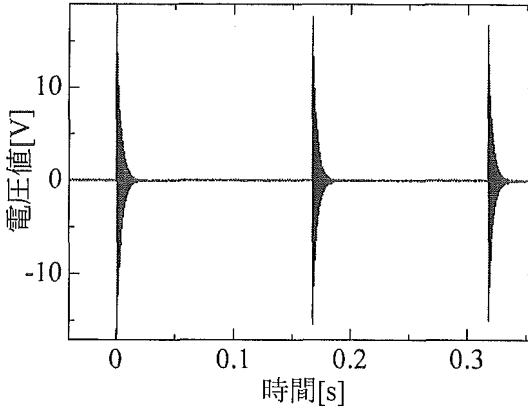


図 66(c) 腹部右側付近におけるトランジェント
磁界波形(Z軸)

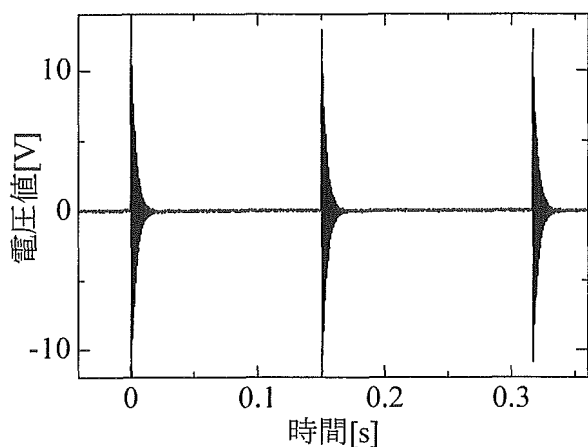


図 67(a) 左膝左側付近におけるトランジエント
磁界波形(X軸)

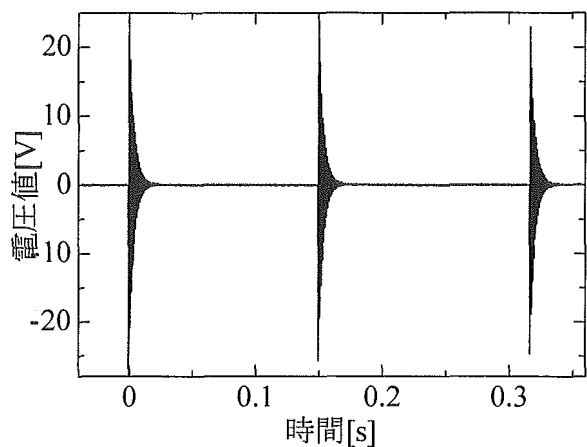


図 68(a) 右膝右側付近におけるトランジエント
磁界波形(X軸)

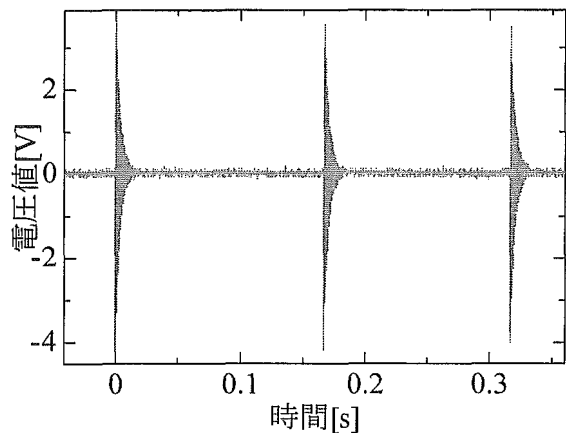


図 67(b) 左膝左側付近におけるトランジエント
磁界波形(Y軸)

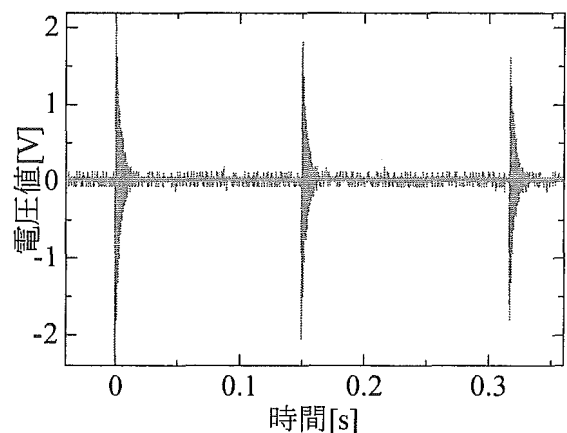


図 68(b) 右膝右側付近におけるトランジエント
磁界波形(Y軸)

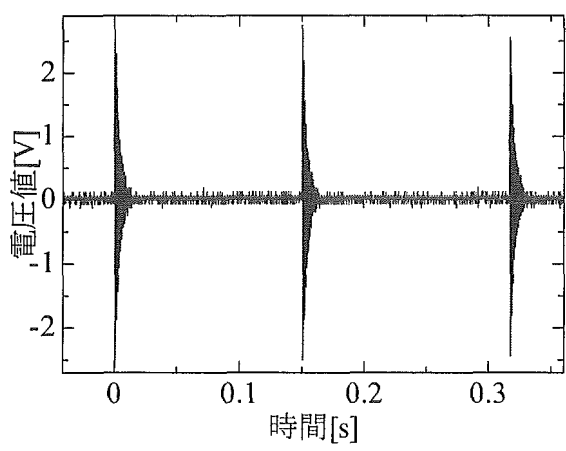


図 67(c) 左膝左側付近におけるトランジエント
磁界波形(Z軸)

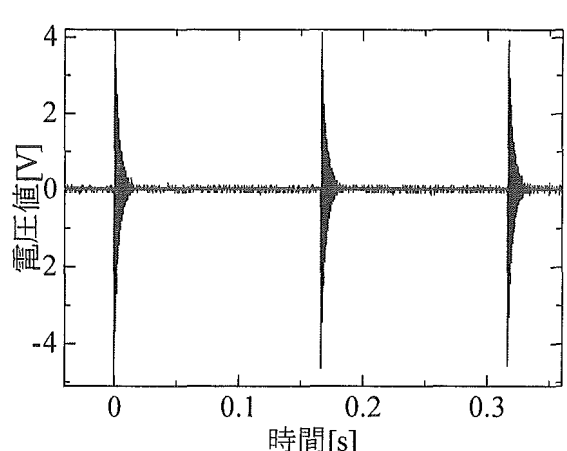


図 68(c) 右膝右側付近におけるトランジエント
磁界波形(Z軸)

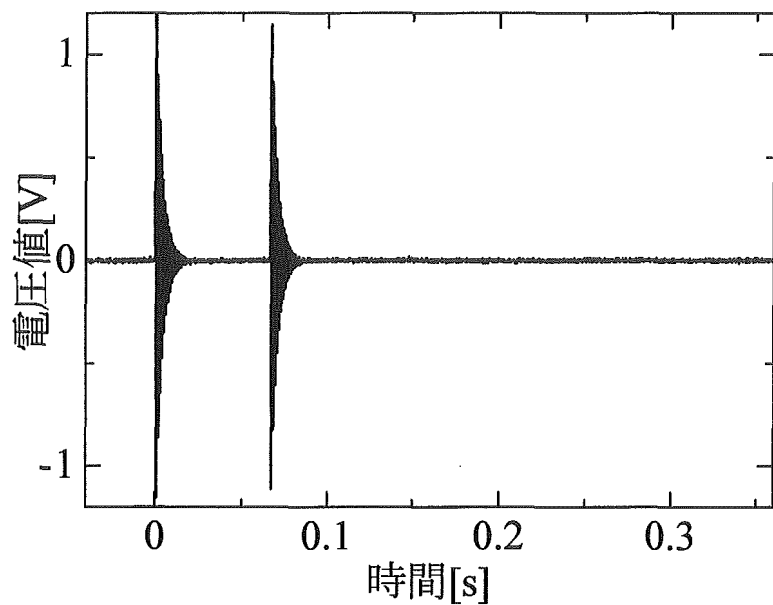


図 69 ゲート警報機作動時のトランジエント磁界波形 (X 軸)

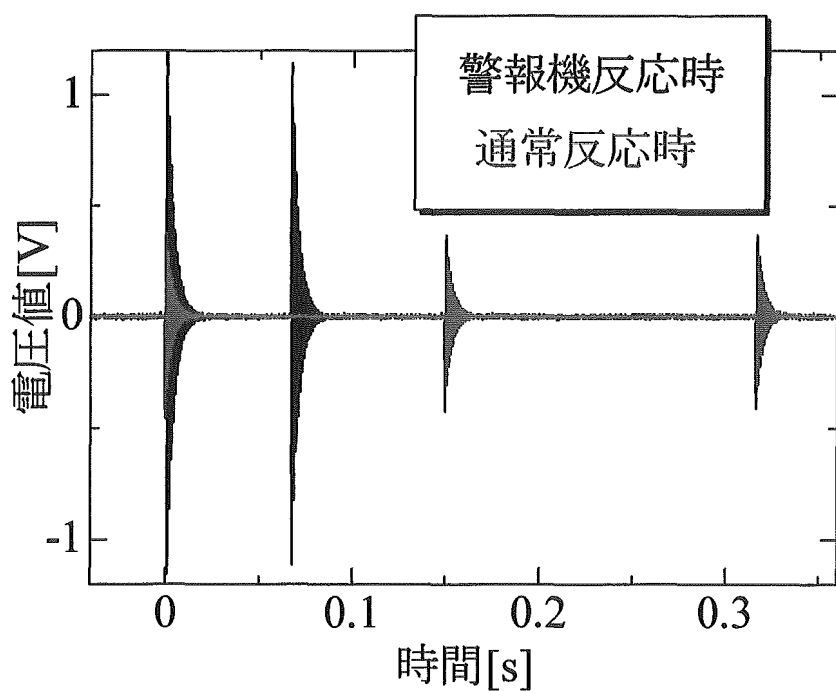


図 70 ゲート通常反応時とゲート警報機作動時のトランジエント
磁界波形の比較

表 1 盗難防止ゲート内の人体の各部位におけるトランジエント磁界ピーク値

	トランジエント磁界ピーク値 [μT]			
	x軸成分	y軸成分	z軸成分	合成成分
左側頭部	1673	533	376	1795.7
右側頭部	2753	30.5	183	2759.2
頭部中心	102	198.2	10.7	223.2
左腹部	83	45.2	1091	1095.1
右腹部	109	318	1637	1671.2
腹部中心	43.2	38.1	760	762.2
左膝	1230	412	238	1318.8
右膝	2490.2	229	460	2542.7

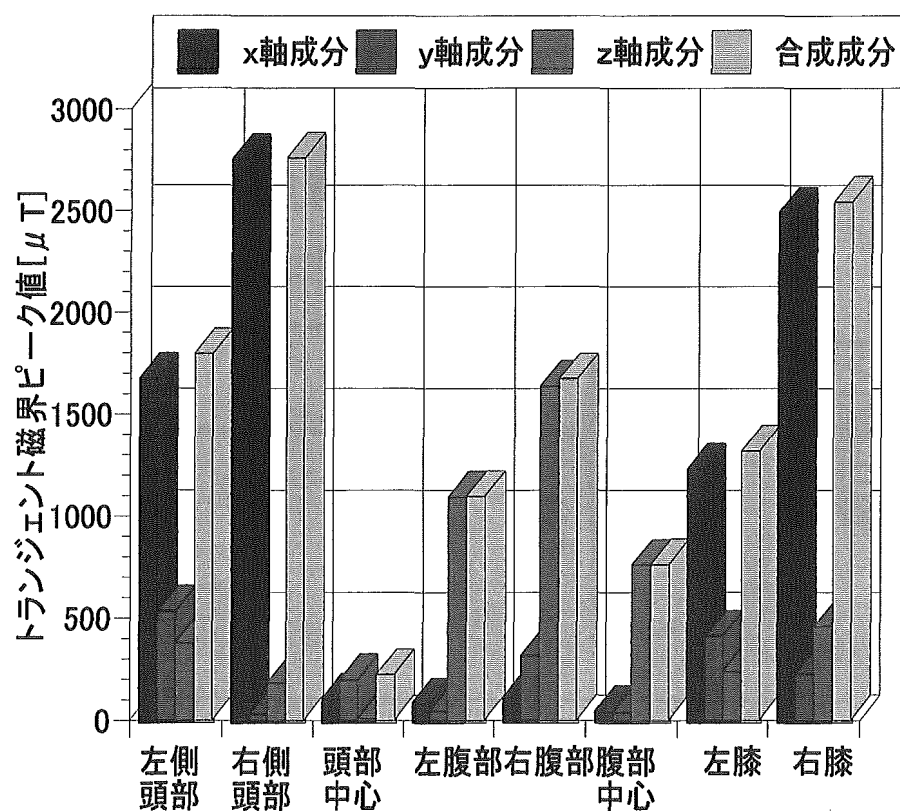


図 71 盗難防止ゲート内の各部位のトランジエント磁界ピーク値（通過時）

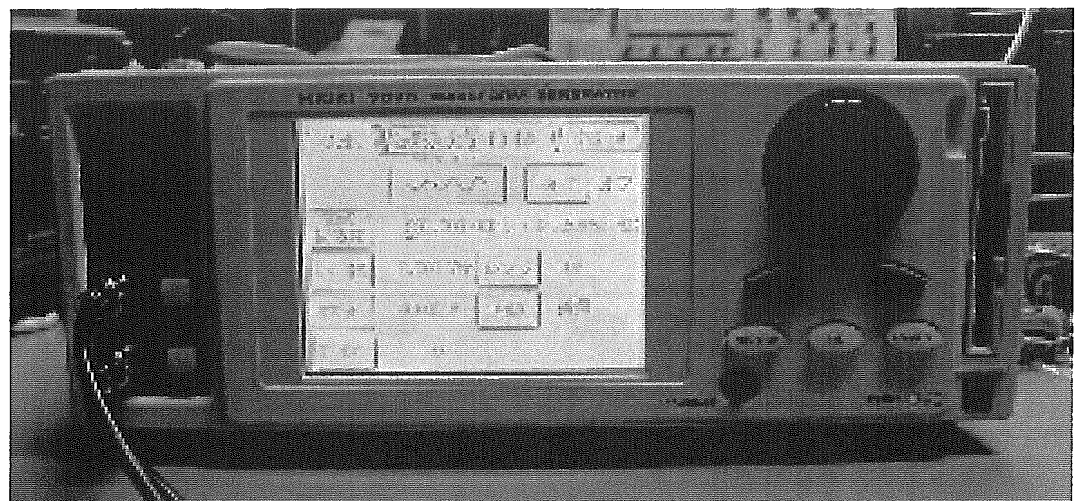


図 72 ウエーブフォームジェネレータ

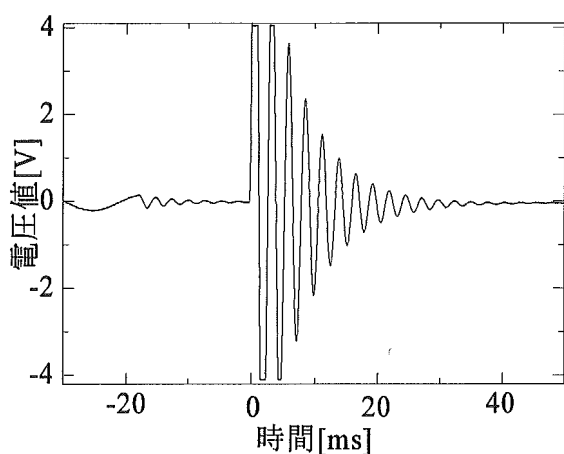


図 73 あるトランジエント磁界波形

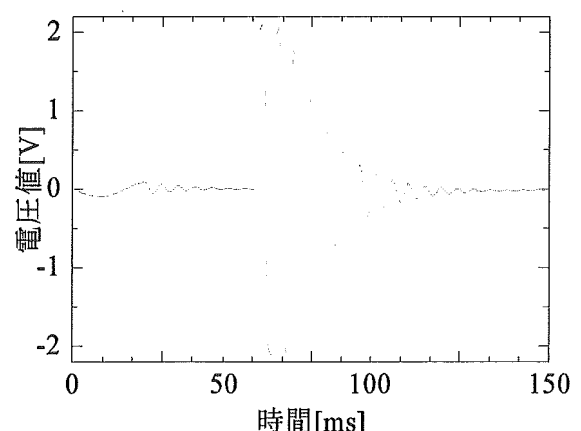


図 74 図 73 におさめた波形を
ウェーブフォームジェネレータ
で再生した波形

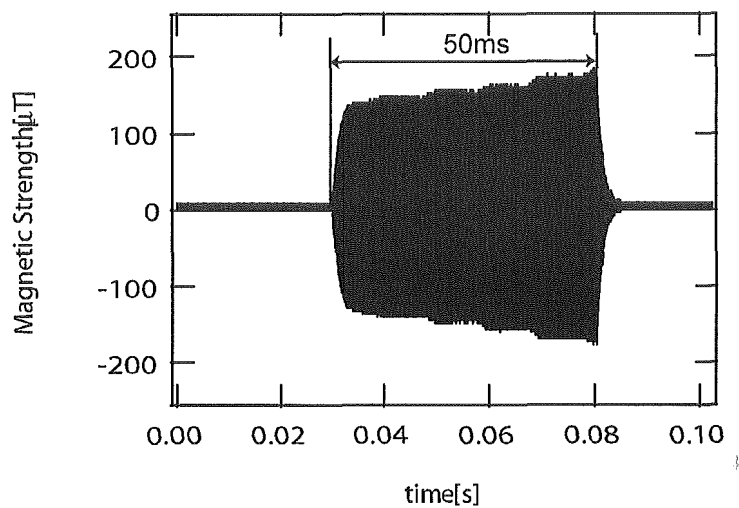


図 75 設定 1 のトランジエント磁界波形

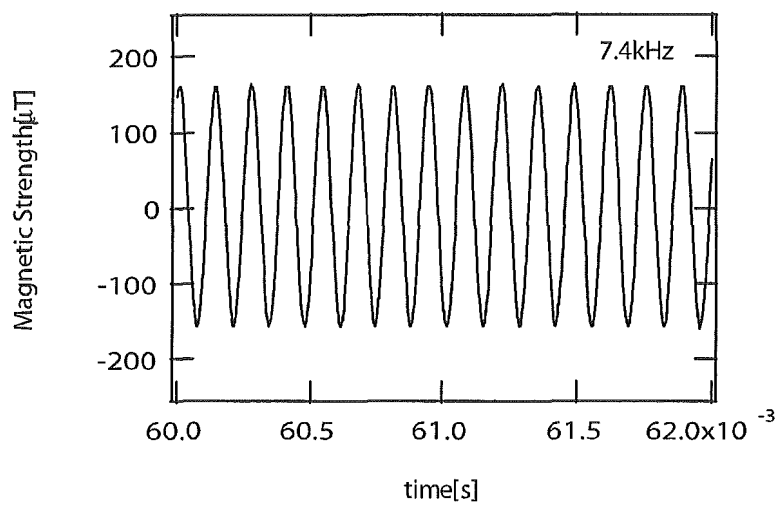


図 76 設定 1 のトランジエント磁界波形の一部

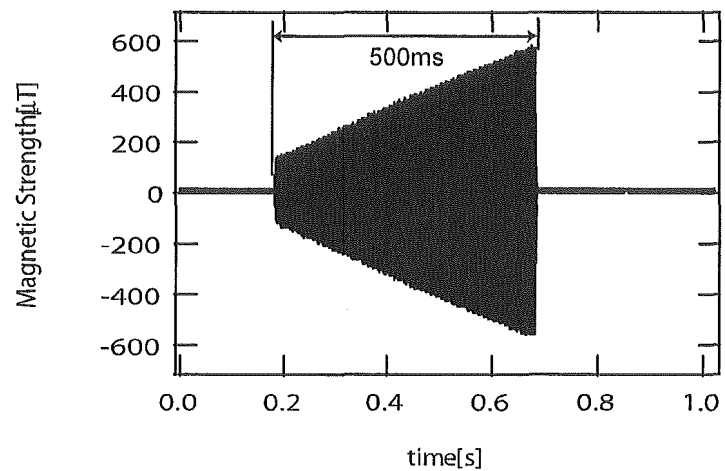


図 77 設定 2 のトランジエント磁界波形

研究成果の刊行に関する一覧表

雑誌

発表者氏名	論文タイトル名	発表誌名	巻号	ページ	出版年
Akira Ushiyama, Hiroshi Masuda, and Chiyoji Ohkubo	Subchronic Effects of Whole Body Exposure to 50 Hz Electromagnetic Fields on Leukocyte-Endothelium Interaction in the Microcirculation in Mice	Microcirculation Annual	18	111-112	2002
Eliada Lazoura, William Campbell, Yoshiki Yamaguchi, Koichi Kato, Noriko Okada, and Hidechika Okada	Rational Structure-Based Design of a Novel Carboxypeptidase R Inhibitor	Chemistry & Biology	9	1129-1139	2002
Hiroyasu Akatsu, Masayoshi Abe, Takashi Miwa, Hisashi Tateyama, Seiji Maeda, Noriko Okada, Kiyohide Kojima, and Hidechika Okada	Distribution of Rat C5a Anaphylatoxin Receptor	Microbiol Immunol.	46(12)	863-874	2002
William D. Campbell, Eliada Lazoura, Noriko Okada and Hidechika Okada	Inactivation of C3a and C5a Octapeptides by Carboxypeptidase R and Carboxypeptidase	Microbiol Immunol.	46(2)	131-134	2002
Hidefumi Komura Kyoko Obata, William Campbell Miho Yumoto, Yasuyo Shimomura, Hirotada Katsuya, Noriko Okada, and Hidechika Okada	Effect of Anticoagulants in Colorimetric Assay for Basic Carboxypeptidases	Microbiol Immunol.	46(2)	115-117	2002
Hidefumi Komura Yasuyo Shimomura, Miho Yumoto, Hirotada Katsuya Noriko Okada, and Hidechika Okada	Heat Stability of Carboxypeptidase R of Experimental Animals	Microbiol Immunol.	46(3)	217-223	2002
Takeshi Kawamura, Noriko Okada, and Hidechika Okada	Elastase from Activated Human Neutrophils Activates Procarboxypeptidase R	Microbiol Immunol.	46(3)	225-230	2002
Yasuyo Shimomura, Takeshi Kawamura, Hidefumi Komura, William Campbell, Noriko Okada, and Hidechika Okada	Modulation of Procarboxypeptidase R(ProCPR) Activation by Complementary Peptides to Thrombomodulin	Microbiol. Immunol.	47(3)	241-245	2003
Sayuri Tani, Hiroyasu Akatsu, Yasuhige Ishikawa, Noriko Okada, and Hidechika Okada	Preferential Detection of Pro-Carboxypeptidase by Enzyme-Linked Immunosorbent Assay	Microbiol. Immunol.	47(4)	295-300	2003
Imre Farkas, Mitsuo Takahashi, Atsuo Fukuda Naoki Yamamoto, Hiroyasu Akatsu, Lajos Baranyi, Hisashi Tateyama, Takayuki Yamamoto, Noriko Okada, and Hidechika Okada	Complement C5a Receptor-Mediated Signaling May Be Involved in Neurodegeneration in Alzheimer's Disease	The Journal of Immunology	170	5764-5771	2003

20021120

P112以降は雑誌/図書等に掲載された論文となりますので
P111「研究成果の刊行に関する一覧表」をご参照ください